

С.А. Покотило, С.Н. Ковпак

## ПРОБЛЕМЫ СОЗДАНИЯ АТМОСФЕРНО-АДАПТИВНЫХ ОПТИКО-ЭЛЕКТРОННЫХ СИСТЕМ НАБЛЮДЕНИЯ

Рассматриваются проблемы создания атмосферно-адаптивных оптико-электронных систем наблюдения, связанные с получением текущей информации о состоянии атмосферы и с прогнозированием ее параметров и характеристик, в частности функций передачи модуляции и функции спектрального пропускания.

Фундаментальной перспективой дальнейшего развития оптикоэлектронных систем наблюдения (ОЭСН) земной поверхности (ЗП) через атмосферу является создание их адаптивных аналогов, способных изменять свои параметры и структуру по мере поступления информации об изменении параметров атмосферно-оптического канала (АОК), зондируемой поверхности и носителя аппаратуры с целью достижения оптимальности заданных характеристик [1—3].

В задачах адаптивного управления стохастическим процессом наблюдения ЗП через атмосферу возникает необходимость оперативного и точного измерения оптической передаточной функции (ОПФ) и функции спектрального пропускания (ФСП) атмосферы по вертикальным и наклонным трассам [1—6]. На эти характеристики существенное влияние оказывают пространственно-временные распределения таких параметров АОК, как размер рассеивающих частиц  $a_p(x, y, z, t)$ , структурная постоянная показателя преломления  $C_n^2(x, y, z, t, \lambda)$ , температура воздуха  $T(x, y, z, t)$ , толщина слоя осажденной воды  $w(x, y, z, t)$ , плотность воздуха  $\rho(x, y, z, t)$ , атмосферное давление  $p(x, y, z, t)$ , которые изменяются в пространстве и во времени случайным образом.

При разработке алгоритмов функционирования адаптивных ОЭСН с эталонными и прогнозирующими моделями возникает необходимость использования ОПФ турбулентной и замутненной атмосферы, интегрально усредненных в пределах измерения параметров АОК и в пределах рабочего спектрального диапазона ОЭСН. Поскольку под системами наблюдения будем понимать некогерентные ОЭСН, далее речь пойдет о модулях полихроматических функций передачи модуляции турбулентной и замутненной атмосферы.

В общем виде усредненная модуляционная передаточная функция (ФПМ) АОК может быть представлена в виде

$$T(v) = \left( \Delta\lambda \prod_{i=1}^n \Delta p_i \right)^{-1} \int_{p_{n1}}^{p_{n2}} \dots \int_{p_{11}}^{p_{12}} T(v, \lambda, p_1, \dots, p_n) d\lambda dp_1 \dots dp_n, \quad (1)$$

где  $\Delta\lambda = \lambda_2 - \lambda_1$ ,  $\lambda_1$ ,  $\lambda_2$  — границы спектрального диапазона ОЭСН;  $p_{11} \dots p_{12}$ ,  $\dots$ ,  $p_{n1} \dots p_{n2}$  — границы диапазонов изменения параметров  $p_1, \dots, p_n$ .

В данной статье получены аналитические выражения статистически усредненных по параметрам атмосферы ФПМ турбулентной и замутненной атмосферы на основе использования результатов, полученных в [2, 3]. Усредненная по  $C_n^2(\lambda)$  полихроматическая ФПМ турбулентной атмосферы, при условии слабой зависимости этой функции в пределах спектрального диапазона работы ОЭСН от длины волны, после интегрирования имеет вид

$$\begin{aligned} m\{T_{\tau,a}(v, \Delta\lambda, \Delta C_n^2)\} &= (\Delta C_n^2)^{-1} \int_{C_{n1}^2}^{C_{n2}^2} \left[ 1 + \frac{3a}{2\Delta\lambda} (\lambda_2^{2/3} - \lambda_1^{2/3}) + \frac{3a^2}{2\Delta\lambda} (\lambda_2^{1/3} - \lambda_1^{1/3}) \right] d(C_n^2), \\ m\{T_{\tau,a}(v, \Delta\lambda, \Delta C_n^2)\} &= 1 - a_1 (C_{n1}^2 + C_{n2}^2) + a_2 \frac{C_{n2}^6 - C_{n1}^6}{\Delta C_n^2}, \end{aligned} \quad (2)$$

где  $a_1 = 8,58(H \sec \beta)v^{5/3}(\lambda_2^{2/3} - \lambda_1^{2/3})$ ;  $a_2 = 32,72(H \sec \beta)^2 \lambda^{10/3}(\lambda_2^{1/3} - \lambda_1^{1/3})$ ;  $H$  — высота наблюдения;  $\beta$  — угол визирования, отсчитываемый от вертикали;  $v$  — обобщенная пространственная частота;  $m$  — символ математического ожидания.

Турбулентный слой АОК можно представить как последовательно соединенные линейные системы с ФПМ  $\bar{T}_i(v)$ , различающимися значениями параметров  $H$  и  $C_n^2$ . Общая ФПМ такой вертикальной трассы турбулентной атмосферы равна:

$$\bar{T}_t(v) = \exp(-k(v) C_{n_l}^2 \Delta H_l),$$

$$\begin{aligned}\bar{T}_t(v) &= \exp(-k(v) C_{n_1}^2 \Delta H_1) \exp(-k(v) C_{n_2}^2 \Delta H_2) \dots \exp(-k(v) C_{n_m}^2 \Delta H_m) = \\ &= \exp\left(-k(v) \sum_{l=1}^m C_{n_l}^2 \Delta H_l\right),\end{aligned}$$

где  $k(v)$  — некоторая функция пространственной частоты;  $C_{n_i}^2$  — структурная функция показателя преломления  $i$ -го слоя;  $\Delta H_i$  — толщина  $i$ -го слоя.

ФПМ замутненной атмосферы зависит от величины параметра рассеяния  $\rho_p = 2\pi a_p \lambda^{-1}$  [10], где  $a_p$  — размер рассеивающей частицы. Поэтому исходную монохроматическую ФПМ замутненной атмосферы [9] следует поочередно усреднить по  $\lambda$  и по  $a_p$ . Усреднение по  $\lambda$  дает следующее выражение:

$$\begin{aligned}m\{T_{3.a}(v, \Delta\lambda)\} &= (\Delta\lambda)^{-1} \int_{\lambda_1}^{\lambda_2} \left[ 1 + \left( \frac{f'v}{2\pi} \right)^2 \frac{\lambda^2}{a_p^2} \right]^{-1} d\lambda, \\ m\{T_{3.a}(v, \Delta\lambda)\} &= (\Delta\lambda)^{-1} \left\{ \left[ \left( \frac{2\pi a_p}{f'v} \right)^2 + \lambda_2^2 \right]^{0.5} - \left[ \left( \frac{2\pi a_p}{f'v} \right)^2 + \lambda_1^2 \right]^{0.5} \right\},\end{aligned}\quad (3)$$

где  $f'$  — фокусное расстояние приемного объектива ОЭСН.

В результате усреднения выражения (3) по  $a_p$  получим

$$\begin{aligned}m\{T_{3.a}(v, \Delta\lambda, \Delta a_p)\} &= (\Delta\lambda \Delta a_p)^{-1} \left\{ \int_{a_{p1}}^{a_{p2}} \left[ \left( \frac{2\pi a_p}{f'v} \right)^2 + \lambda_2^2 \right] da_p - \int_{a_{p1}}^{a_{p2}} \left[ \left( \frac{2\pi a_p}{f'v} \right)^2 + \lambda_1^2 \right] da_p \right\}, \\ m\{T_{3.a}(v, \Delta\lambda, \Delta a_p)\} &= (\Delta\lambda \Delta a_p)^{-1} \left\{ \frac{1}{2} \left[ a_p \left[ a_p^2 + \left( \frac{\lambda_2 f'}{2\pi} \right)^2 v^2 \right]^{0.5} + \right. \right. \\ &\quad \left. \left. + \left( \frac{\lambda_2 f'}{2\pi} \right)^2 v^2 \ln \left| a_p^2 + \left[ a_p^2 + \left( \frac{\lambda_2 f'}{2\pi} \right)^2 v^2 \right]^{0.5} \right| \right] \right|_{a_{p1}}^{a_{p2}} - \frac{1}{2} \left[ a_p \left[ a_p^2 + \left( \frac{\lambda_1 f'}{2\pi} \right)^2 v^2 \right]^{0.5} + \left( \frac{\lambda_1 f'}{2\pi} \right)^2 v^2 \times \right. \\ &\quad \left. \times \ln \left| a_p^2 + \left[ a_p^2 + \left( \frac{\lambda_1 f'}{2\pi} \right)^2 v^2 \right]^{0.5} \right| \right] \right|_{a_{p1}}^{a_{p2}} \right\}.\end{aligned}\quad (4)$$

При приближении носителя ОЭСН вокруг него может возникать турбулентный пограничный слой, который искажает пространственно-частотный спектр изображаемой поверхности. Монохроматическая ФПМ турбулентности, вызванной наличием пограничного слоя, описывается выражением [11]:

$$T_{n.c}(v, \mu) = \exp\left[-\frac{4\pi^2 \Delta^2 v^2}{(\nu_0^2 + v^2) \lambda^2}\right],\quad (5)$$

где  $v_0 = \delta(10\lambda f')^{-1}$ ;  $\delta$  — толщина пограничного слоя;  $\Delta$  — среднее квадратическое отклонение волнового фронта, м; для  $M < 2$  справедлива приближенная формула [11]:

$$\Delta = 3 \cdot 10^{-6} \delta \rho M^2 (1 + 0.1 M^2)^{-1},$$

где  $\rho$  — относительная плотность воздуха;  $M$  — число Маха.

Формулу (5) приведем к более удобному виду

$$T_{n.c}(v, \mu) = \exp(-a_n \lambda_t^2),\quad (6)$$

где  $a_n = 4\pi^2 \Delta^2 v^2 (\nu_0^2 + v^2)^{-1}$ ;  $\lambda_t = \lambda^{-1}$ , и найдем выражение для ФПМ:

$$\bar{T}_{n.c}(v) = \frac{1}{\Delta\lambda} \int_{\lambda_1}^{\lambda_2} \exp(-a_n \lambda_t^2) d\lambda.$$

Выразим  $d\lambda$  через  $\lambda_t$ :

$$d\lambda = -\lambda_r^{-2} d\lambda_r.$$

Тогда (6) перепишем в виде

$$\bar{T}_{n,c}(v) = \frac{1}{\Delta\lambda} \int_{\lambda_1}^{\lambda_2} \frac{\exp(-a_n \lambda_r^2)}{\lambda_r^2} d\lambda_r. \quad (7)$$

Воспользуемся табличным интегралом вида [12]

$$\int \frac{\exp(-ax^2)}{x^p} dx = -\frac{\exp(-ax^2)}{(p-1)x^{p-1}} - \frac{2a}{p-1} \int \frac{\exp(-ax^2)}{x^{p-2}} dx, \quad (8)$$

и в результате интегрирования получим

$$\begin{aligned} \bar{T}_{n,c}(v) &= -\frac{1}{\Delta\lambda} \left[ -\frac{\exp(-a_n \lambda_r^2)}{(2-1)\lambda_r^{(2-1)}} \Big|_{\lambda_1}^{\lambda_2} - \frac{2a_n}{2-1} \int_{\lambda_1}^{\lambda_2} \frac{\exp(-a_n \lambda_r^2)}{\lambda_r^{(2-2)}} d\lambda_r \right] = \frac{1}{\Delta\lambda} \left[ \frac{\exp(-a_n \lambda_1^2)}{\lambda_1} \Big|_{\lambda_1}^{\lambda_2} + \right. \\ &\quad \left. + 2a_n \int_{\lambda_1}^{\lambda_2} \exp(-a_n \lambda_r^2) d\lambda_r \right]. \end{aligned} \quad (9)$$

Для вычисления интеграла, входящего в (9), воспользуемся табличным интегралом [12]

$$\int_0^x \exp(-a_1^2 x^2) dx = \frac{\pi^{0.5}}{2a_1} \operatorname{erf}(a_1 x). \quad (10)$$

Искомый интеграл найдем как разность интегралов вида (10)

$$\int_{\lambda_1}^{\lambda_2} = \int_0^{\lambda_2} - \int_0^{\lambda_1},$$

то есть

$$\begin{aligned} \int_{\lambda_1}^{\lambda_2} \exp(-a_n^2 \lambda_r^2) d\lambda_r &= \int_0^{\lambda_2} \exp(-a_n^2 \lambda_r^2) d\lambda_r - \int_0^{\lambda_1} \exp(-a_n^2 \lambda_r^2) d\lambda_r = \frac{\pi^{0.5}}{2a_n} \operatorname{erf}(a_n \lambda_2) - \frac{\pi^{0.5}}{2a_n} \operatorname{erf}(a_n \lambda_1) = \\ &= \frac{\pi^{0.5}}{2a_n} [\operatorname{erf}(a_n^{0.5} \lambda_2) - \operatorname{erf}(a_n^{0.5} \lambda_1)]. \end{aligned} \quad (11)$$

В выражениях (10), (11)  $a_1 = a_n^{0.5}$ ,  $\operatorname{erf}(a_n^{0.5} \lambda_2)$ ,  $\operatorname{erf}(a_n^{0.5} \lambda_1)$  — интегралы вероятности по соответствующим аргументам.

Подставив (11) в (9), получим окончательное выражение для полихроматической ФПМ турбулентного пограничного слоя

$$\bar{T}_{n,c}(v) = \frac{1}{\Delta\lambda} \left\{ \lambda \exp(-a_n \lambda_r^2) \Big|_{\lambda_1}^{\lambda_2} + a_n \frac{\pi^{0.5}}{a_n^{0.5}} [\operatorname{erf}(a_n^{0.5} \lambda_2) - \operatorname{erf}(a_n^{0.5} \lambda_1)] \right\}, \quad (12)$$

где  $a_n = a_n(v)$ .

В формулу (12) необходимо подставлять и усредненное значение параметра  $v_0$  (см. (5)). В результате усреднения по  $\lambda$  получим

$$\bar{v}_0 = \frac{1}{\Delta\lambda} \int_{\lambda_1}^{\lambda_2} v_0(\lambda) d\lambda = \frac{1}{\Delta\lambda} \int_{\lambda_1}^{\lambda_2} \frac{\delta}{10f'} \frac{d\lambda}{\lambda}, \quad \bar{v}_0 = \frac{\delta}{10f' \Delta\lambda} (\ln \lambda_2 - \ln \lambda_1).$$

С помощью бортовых датчиков необходимо прогнозировать изменение размеров рассеивающих частиц и структурной функции показателя преломления по высоте в районе наблюдения и в формулы

(2) и (4) подставлять вместо  $C_n^2$  и  $a_p$  их математические ожидания. На рис. 1, 2 приведены результаты расчета усредненных полихроматических ФПМ при различных значениях  $C_n^2$  и  $a_p$  и для различных углов визирования ОЭСН.

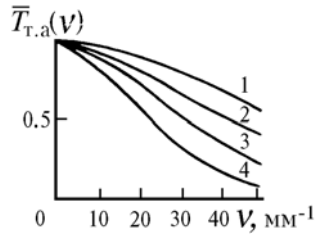


Рис. 1. Усредненные полихроматические ФПМ турбулентной атмосферы, полученные при  $H = 500$  м,  $\bar{\lambda} = 4$  мкм: 1 —  $C_n^2 = 10^{-15}$  м $^{-2/3}$ ,  $\beta = 0$ ; 2 —  $C_n^2 = 10^{-9}$  м $^{-2/3}$ ,  $\beta = 0$ ; 3 —  $C_n^2 = 10^{-9}$  м $^{-2/3}$ ,  $\beta = 30^\circ$ ; 4 —  $C_n^2 = 10^{-9}$  м $^{-2/3}$ ,  $\beta = 60^\circ$

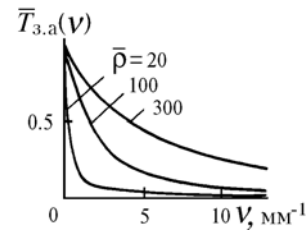


Рис. 2. Усредненные полихроматические ФПМ за-мутненной атмосферы ( $\bar{\rho} = 2\pi a_p \bar{\lambda}^{-1}$ )

При прохождении излучения через слой атмосферы происходит его энергетическое ослабление за счет молекулярного поглощения и аэрозольного рассеяния, поэтому ФСП можно записать в виде

$$\tau_A(\lambda) = \tau_{A1}(\lambda) \tau_{A2}(\lambda) \tau_{A3}(\lambda),$$

где  $\tau_{A1}(\lambda)$ ,  $\tau_{A2}(\lambda)$ ,  $\tau_{A3}(\lambda)$  — составные части ФСП, обусловленные молекулярным рассеянием, поглощением и аэрозольным рассеянием соответственно. В инфракрасной области спектра  $\tau_{A1}(\lambda) \approx 1$  [13], поэтому ограничимся оценкой составляющих  $\tau_{A2}(\lambda)$  и  $\tau_{A3}(\lambda)$ .

Составляющая ФСП  $\tau_{A2}(\lambda)$ , учитывающая поглощение излучения атмосферными газами, зависит от их концентрации в атмосфере и протяженности трассы. Основными поглощающими газами являются водяной пар, углекислый газ и озон:

$$\tau_{A2}(\lambda) = \tau_{A2}^{(H_2O)}(\lambda) \tau_{A2}^{(CO_2)}(\lambda) \tau_{A2}^{(O_3)}(\lambda).$$

Влияние водяного пара прогнозируется путем создания модели вертикально-наклонной трассы, основанной на принципе расслоения столба атмосферы высотой  $Z$  на  $N$  слоев одинаково малой высоты. Тогда можно утверждать, что основные параметры атмосферы внутри слоя не изменяются вдоль координаты  $z$  [14]. Оценка величины  $\tau_{A2}^{H_2O}(\lambda)$  производится по таблицам Пассмана — Лармора [15], для чего необходимо определить толщину слоя осажденной воды  $w(x, y, z, t)$ , являющуюся функцией параметров состояния атмосферы:

$$w(x, y, z, t) = F(Z, f, p, T) = \sum_{j=1}^N w_j(Z, f, p, T),$$

$$w_j(Z, f, p, T) = 289.4 (273 + T_j)^{-1} q_j P_j (622 + 0.378 q_j)^{-1} f \Delta Z,$$

где  $q_j = q_0 \exp(-0.5 \Delta Z_j)$  — удельная влажность воздуха в  $j$ -м слое;  $\Delta Z = Z/N$  — толщина слоя,  $q_0 = 622 e (P_0 - 0.378 e)^{-1}$  — удельная влажность воздуха на высоте  $Z = 0$ ;  $P_j = \exp\{\ln P_0 - g_0[(T - T_0) \times N^{-1} R]^{-1} \ln(T_j T_0^{-1})\}$  — давление атмосферы в  $j$ -м слое;  $e = \exp\{\ln 4.58 + [7.5(\tau / 237, 3 + \tau)] \ln 10\}$  — упругость насыщенного водяного пара;  $p_0$ ,  $T_0$  — давление и температура воздуха у поверхности земли;  $j$  — порядковый номер слоя;  $g_0$  — ускорение свободного падения;  $T$  — температура воздуха на высоте  $Z$ ;  $R$  — универсальная газовая постоянная воздуха;  $T_j = T_0 + [(T - T_0)/N]$  — температура воздуха в  $j$ -м слое;  $f$  — относительная влажность воздуха у поверхности земли,  $\tau$  — точка росы водяного пара.

Коэффициент пропускания излучения углекислым газом  $\tau_{A2}^{(CO_2)}(\lambda)$  определяется по таблицам [15], где входным параметром является эквивалентная трасса

$$Z_{\text{экв}} = \sum_{j=1}^N \Delta Z_j \left( \frac{P_{zj}}{P_{z(j-1)}} \right)^{1.5}.$$

При оценке значения  $\tau_{A3}^{(O_3)}(\lambda)$  использовались среднестатистические данные, приведенные в [10].

Коэффициент пропускания излучения за счет аэрозольного рассеяния  $\tau_{A3}(\lambda)$  существенно зависит от размеров и концентрации частиц аэрозоля, сосредоточенного в атмосфере. Оценка величины  $\tau_{A3}(\lambda)$  производилась по методике, предложенной в [10]:

$$k(\lambda, Z_1, Z_2, \beta) = \sec \beta \cdot 3.912 S_m^{-1} \omega(\lambda) b^{-1} [\exp(-bZ_1) - \exp(-bZ_2)],$$

где  $b = 2,78 - 0,46 \lg S_m(0)$ ;  $k(\lambda, Z_1, Z_2, \beta)$  — показатель аэрозольного рассеяния;  $\beta$  — угол наклона трассы;  $S_m$  — метеорологическая дальность видимости;  $Z_1$  и  $Z_2$  — высоты нижней и верхней границ атмосферного столба;  $\omega(\lambda) = \alpha(\lambda) \cdot \alpha(0,5)^{-1}$ ;  $\alpha(\lambda)$  и  $\alpha(0,5)$  — коэффициенты ослабления на длине волны  $\lambda$  и  $0,5$  мкм соответственно.

В условиях реальной атмосферы аэрозольные частицы имеют, как правило, водную оболочку. Поэтому показатель преломления частицы с водяной оболочкой становится комплексной величиной, что приводит к усложнению расчетов  $\tau_{A3}(\lambda)$ . В результате численного моделирования была получена зависимость ФСП от длины волны в диапазоне  $7 \dots 14$  мкм (рис. 3), которая хорошо согласуется с результатами [9, 10, 13], однако точность ее прогнозирования существенно зависит от точности бортовых датчиков измерения параметров атмосферы. В наибольшей степени ФСП зависит от точности измерения температуры воздуха: изменение ее значения на  $1$  К приводит к изменению величины  $\tau_A(\lambda)$  на  $1,3\%$ , что подтверждает результаты работы [13]. Изменение остальных параметров атмосферы в меньшей степени влияет на распространение излучения.

Таким образом, основные проблемы создания атмосферно-адаптивных ОЭСН и их алгоритмического обеспечения состоят в измерении и прогнозировании с заданной точностью высотных профилей температуры, давления, относительной влажности, структурной функции показателя преломления, а также типа аэрозоля в приземном слое атмосферы и высотных профилей его размеров и концентрации.

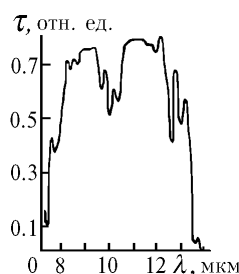


Рис. 3. Зависимость функции спектрального пропускания атмосферы от длины волны для определенных условий наблюдения.  $P_0 = 730$  мм рт. ст.;  $\tau_0 = 293$  К;  $H = 1000$  м,  $f = 70\%$ ,  $S_m(0) = 1$  км

- Белинский В. Н., Покотило С. А. //Научно-методические материалы по вопросам повышения эффективности и надежности систем авиационного оборудования. Киев: КВВАИУ, 1982. С. 17 – 20.
- Покотило С. А. //Тез. докл. V Конф. молодых ученых вузов Иркут, обл. Иркутск: ИГУ, 1987. Ч. I. С. 116.
- Покотило С. А. //Тез. докл. XVI Всесоюзн. конф. по распространению радиоволн. Харьков: ХПИ. 1990. Ч. 2. С. 313.
- Калиненко А. Н., Комаров В. С. //Тез. докл. XV Всесоюзн. конф. по распространению радиоволн. Алма-Ата: ИИ АН КазССР, 1987. С. 355.
- Покотило С. А. //Повышение эффективности авиационных иконических систем. Иркутск: ИВВДИУ, 1987 С. 18–24.
- Зуев В. Е. //Оптика атмосферы, 1988. Т. 1. № 1. С. 5.
- Ковпак С. Н., Покотило С. А. //Тез. докл. XV Всесоюзн. конф. по распространению радиоволн. Харьков: ХПИ. 1990. Ч. 2. С. 314.
- Noeke A. R. //Int. Arch. Photogramm. Remote Sens. 15th Congr., Rio de Janeiro, 1984. V. 25. P. 132–140.
- Зуев В. Е., Кабанов М. В. Перенос оптических сигналов в земной атмосфере (в условиях помех). М.: Сов. радио, 1977. 368 с.
- Зуев В. Е. Распространение видимых и инфракрасных волн в атмосфере. М.: Сов. радио, 1970. 496 с.
- Алексеев В. И., Бондарский И. А. Разведывательное и светотехническое оборудование летательных аппаратов. М.: ВВИА, 1971. 576 с.
- Прудников А. П., Брычков Ю. А., Маричев О. И. Интегралы и ряды. М.: Наука, 1981. 798 с.
- Зуев В. Е., Креков Г. М. Оптические модели атмосферы. Л.: Гидрометеониздат, 1986. 256 с.
- Орлов В. М., Самохвалов И. В., Креков Г. М. и др. Сигналы и помехи в лазерной локации. М.: Радио и связь, 1985. 264 с.
- Госсорт Ж. Инфракрасная термография. М.: Мир, 1988. 416 с.

Иркутское высшее военное авиационное  
инженерное училище

Поступила в редакцию  
10 марта 1992 г.

S. A. Pokotilo, S. N. Kovpak. Some Problems of Creating the Atmospheric Adaptive Opto-Electronic Vision Systems.

Some problems of creating the atmospheric adaptive optoelectronic vision systems related to acquisition of a current information about the atmosphere and to forecasting its parameters like, for example, the modulation transfer function and the spectral transmission function are considered.